

Differences finies pour l'équation de la chaleur

① Pb de Cauchy sur R , schéma explicite

DF primaire

f fonction connue en des points $x_j = j \Delta x = j h$, $h \in R$
régulière.

Approximation de f' par $f''(\sim)$ par des valeurs de $f(x_j) = f_j$

$$\text{par exemple } f'(x) = \frac{f(x+h) - f(x)}{h} + \frac{h}{2} f''(\xi) \quad \xi \in (x, x+h) \quad (1)$$

$$= \frac{f(x) - f(x-h)}{h} + \frac{h}{2} f''(\xi) \quad (2)$$

$$= \frac{f(x+h) - f(x-h)}{2h} + \frac{h}{2} f'''(\xi) \quad \xi \in (x-h, x+h) \quad (3)$$

$$\text{à } 3^{\text{e}} \quad f(x+h) = f(x) + h f'(x) + \frac{h^2}{2} f''(x) + \frac{h^3}{3!} f^{(3)}(\xi_+)$$

$$(1) \quad f(x-h) = f(x) - h f'(x) + \frac{h^2}{2} f''(x) - \frac{h^3}{3!} f^{(3)}(\xi_-)$$

$$\Rightarrow f'(x) = \frac{f(x+h) - f(x-h)}{2h} + \frac{h^2}{3!} (f^{(3)}(\xi_+) + f^{(3)}(\xi_-))$$

$$\text{soit } f \in C^3 \Rightarrow \exists \xi_m \quad f^{(2)}(\xi_m) = \frac{1}{2} (f^{(3)}(\xi_+) + f^{(3)}(\xi_-))$$

(1) = DF "avant"

ordre 1

(2) = DF "arrière"

ordre 2 mais f régulière

Ce qui se passe en précision flottante.

$$\tilde{f}'(x) = f'(x) (1 + q(x))$$

$$|q(x)| \leq \varepsilon$$

(par, ε machine)

$$\left| \frac{\hat{f}(x+h) - \hat{f}(x)}{h} - f'(x) \right| \leq \frac{1}{h} \left(|f(x+h)| + |f(x)| \right) + \frac{h}{2} \|f''(s)\|$$

Hyp $|f'(x)| \leq M_0$ sur l'intervalle et $|f''(x)| \leq M_1$

$$\left| \frac{\hat{f}(x+h) - \hat{f}(x)}{h} - f'(x) \right| \leq \frac{2\varepsilon}{h} M_0 + \frac{h}{2} M_1$$

Valeurs optimales de h ?

$$\frac{2\varepsilon}{h} M_0 = \frac{h}{2} M_1 \Rightarrow h = 2\sqrt{\varepsilon \frac{M_0}{M_1}}$$

$\boxed{h \sim \sqrt{\varepsilon}}$ et l'erreur est aussi en $\sqrt{\varepsilon}$

+ facteurs M_0, M_1 inconnus mais "qualitativement logique"

Rq si on hésite majorant $\frac{2\varepsilon}{h} M_0 + \frac{h}{6} M_3$ $M_3 = \sup(f''')$

et $h \sim \sqrt[3]{\varepsilon} \Rightarrow$ + grand.

Dérivée seconde

$$f''(x) = \frac{-f(x+h) + 2f(x) - f(x-h)}{h^2} + h^2 \underbrace{f'''(\xi)}_{f \in C^3}$$

Ordre 4

$$f''(x) = \frac{f(x+2h) - 16f(x+h) + 30f(x) - 16f(x-h) + f(x-2h)}{12h} + h^4 f^{(4)}(\xi)$$

Schéma explicatif pour la chaleur sur \mathbb{R}

$$\begin{cases} x_j = j\Delta x \quad j \in \mathbb{Z}, \quad t^n = n\Delta t, \quad n \in \mathbb{N} \\ u_j^n \approx u(x_j, t^n) \end{cases}$$

Schéma avant en temps, un peu en espace

$$\left\{ \begin{array}{l} \frac{u_j^{n+1} - u_j^n}{\Delta t} - D \frac{u_{j+1}^n - 2u_j^n + u_{j-1}^n}{\Delta x^2} = 0 \\ u_j^0 = \Psi(x_j) \end{array} \right.$$

Explikat $\Rightarrow (u_j^n)_{j \in \mathbb{Z}}$ connu $\Rightarrow (u_j^{n+1})_j$ calculable.

~~$$u_j^{n+1} = \frac{\Delta t}{\Delta x^2} (D \Delta t) \left(\frac{u_j^n}{\Delta x^2} \right)$$~~

$$\lambda = \frac{D \Delta t}{\Delta x^2} \quad \text{nbre de Fourier}$$

$$u_j^{n+1} = \lambda u_{j-1}^n + (1-2\lambda) u_j^n + \lambda u_{j+1}^n$$

Rq somme des coeffs = 1

lemme sr $|\lambda| \leq 1-2\lambda \leq 1 \Rightarrow \max_j |u_j^{n+1}| \leq \max_j |u_j^n|$

Dém $\lambda > 0, \quad 1-2\lambda > 0 \Rightarrow \lambda \leq 1/2$

So vrai \Rightarrow combinaison convexe $\Rightarrow |u_j^{n+1}| \leq \max(u_{j-1}^n, u_j^n, u_{j+1}^n)$
 $\leq \max_j |u_j^n|$

\Rightarrow OK

□

PFT DU MAXIMUM DISCRET

\Rightarrow Stabilité du schéma en norme L^∞

Rq si $\lambda \geq \frac{1}{2} \Rightarrow$ schéma instable.

$$\text{Ex } u_j^n = (-1)^j \varepsilon \Rightarrow u_j^{n+1} = (1-\lambda) (-1)^{j+1} \varepsilon$$

$$\Rightarrow \max_j |u_j^{n+1}| = (3\lambda - 1)^n \varepsilon \xrightarrow[n \rightarrow \infty]{} \infty$$

Erreur de troncature - consistance

$u(x,t)$ sol de l'EDP, supposée (très) régulière
on se place avec u dans le schéma

$$\begin{aligned} \tau_j^n &= \frac{1}{\Delta t} (u(x, t + \Delta t) - u(x, t)) \\ &\quad - \frac{D}{\Delta x} (u(x - \Delta x, t) - 2u(x, t) + u(x + \Delta x, t)) \end{aligned}$$

Soit régulière, on calcule

$$\begin{aligned} \tau_j^n &= \partial_t u(x, t) + \Delta t \partial_t^2 u(x, t) \\ &\quad - D \partial_x^2 u(x, t) + \Delta x \partial_x^3 u(x, t) \end{aligned}$$

Si u sol de l'EDP, l'erreur de troncature τ_j^n est bornée par

$$|\tau_j^n| \leq \Delta t \max_{(x,t)} |\partial_t^2 u| + \Delta x^2 \max_{(x,t)} |\partial_x^3 u|$$

La méthode est dite consistante, ordre 1 en temps,
ordre 2 en espace.

Convergence | Soit t_f fixé, $\Delta t / \Delta x^2 \leq 1/2$ (stabilité)
 $x_0, k \not\in \Delta t \rightarrow 0$, avec $n \Delta t = t_f$ ($n \rightarrow \infty$, $n \Delta t = t_f$)

$$\max_{j \in Z} |u(x_j, t_f) - v_j^n| \leq C t_f (\Delta t + \Delta x^2)$$

$$C \leq \|\partial_t^2 u\|_\infty + \|\partial_x^3 u\|_\infty \text{ est temps}$$

Dém soit $e_j^n = u(x_j, t^n) - v_j^n$ ($t^n = t_f$)

Par définition de τ_j^n

$$\frac{e_j^{n+1} - e_j^n}{\Delta t} - D \frac{e_{j+1}^n - 2e_j^n + e_{j-1}^n}{\Delta x^2} = \tau_j^n$$

$$\text{stabilité} \Rightarrow |e_j^n| \leq |e_j^0| + \Delta t \bar{c}_j^n \quad \forall j, t$$

$$\text{soit } E^n = \sup_j |e_j^n|, \quad \bar{T}^n = \sup_j |c_j^n|$$

$$\begin{aligned} E^{n+1} &\leq E^n + \Delta t \bar{T}^n \\ &\leq E^{n-1} + \Delta t (\bar{T}^n + \bar{T}^{n-1}) \end{aligned}$$

$$|E^{nn}| \leq E^0 + \Delta t \sum_{k=0}^n \bar{T}^k$$

$$\leq E^0 + \underbrace{\Delta t}_{\text{if}} \left(\max_k \bar{T}^k \right)$$

donc $E^n \leq E^0 \max T^k$ comme dans l'énoncé.

~~OK~~

Rq 1 - Consistance + stabilité \Rightarrow convergence

Rq 2 Besoin de régularité

Schémas aux différences finies pour l'équation de la chaleur

Cas d'un intervalle borné, avec conditions de Dirichlet homogènes

Eq de la chaleur

$$\partial_t u - D \partial_x^2 u = f(x,t) \quad x \in]0, L[, t \in [0, T]$$

$$u(x, 0) = \varphi(x) \quad x \in]0, L[$$

$$\underline{\text{Hyp}} \quad u(0, t) = u(L, t) = 0$$

Solution régulière

→ Maillage de $]0, L[$: $x_0 = 0 < x_1 < \dots < x_j < \dots < x_{J+1} = L$

Dans ce cours $x_j = j \Delta x, \Delta x > 0, j = 0, \dots, J+1$

→ En temps $t^n = n \Delta t, n = 0, \dots, N+1, (N+1) \Delta t = T$

Notation $U_j^n (\simeq u(x_j, t^n))$

Cond. Premières $U_0^n = U_{J+1}^n = 0, \forall n$

Cond. initiale $U_j^0 = \varphi(x_j), j = 0, \dots, J+1 \quad (\varphi(0) = \varphi(L) = 0)$
 $\Rightarrow U_0^0 = U_J^0 = 0$

Second membre $f_j^n = f(x_j, t^n), j = 0, \dots, J+1, n \geq 0, n \neq N+1$

③ Généralisation du schéma explicite

$$\frac{U_1^{n+1} - U_1^n}{\Delta t} - D \frac{U_{J+1}^n - 2U_J^n + U_{J-1}^n}{\Delta x^2} = f_J^n + C_L + C_I$$

$$\Delta \text{ Bords: } \begin{cases} j=1 \rightarrow \frac{U_1^{n+1} - U_1^n}{\Delta t} - D \frac{U_2^n - 2U_1^n + U_0^n}{\Delta x^2} = f_1^n - U_0^n = 0 \\ j=J \text{ idem} \end{cases}$$

→ Vision matricielle: vecteur des inconnues

$$U^n = \begin{pmatrix} U_1^n \\ \vdots \\ U_J^n \end{pmatrix} \in \mathbb{R}^J \quad \text{sans les bords}$$

Idem $\mathbf{f}^n = \begin{pmatrix} \mathbf{g}^n \\ \vdots \\ \mathbf{g}_J^n \end{pmatrix} \in \mathbb{R}^{J}$

① Taille du vecteur inconnu change avec J , ou Δx ($(J+1)\Delta x = L$)

Matrice $A_{\Delta x} = \frac{1}{\Delta x} \begin{pmatrix} 2 & -1 & & & \\ -1 & 2 & -1 & & \\ & -1 & 2 & -1 & \\ & & -1 & 2 & -1 \\ & & & -1 & 2 \end{pmatrix} \in \mathbb{R}^{J \times J}$

Le schéma DF s'écrit: $\frac{U_J^n - U_J^{n-1}}{\Delta t} + D A_{\Delta x} U^n = F^n$

Expliquer $\Rightarrow \underline{\underline{U^{n+1} = (I - D\Delta t A_{\Delta x}) U^n + \Delta t F^n}}, \quad U^0 = \begin{pmatrix} \varphi(x_1) \\ \vdots \\ \varphi(x_J) \end{pmatrix}$

Analyse identique au cas sur R (Dirichlet)

stable (SS) $\frac{D\Delta t}{\Delta x} \leq \frac{1}{2}$

② Autres schémas

Condition de stabilité très restrictive.

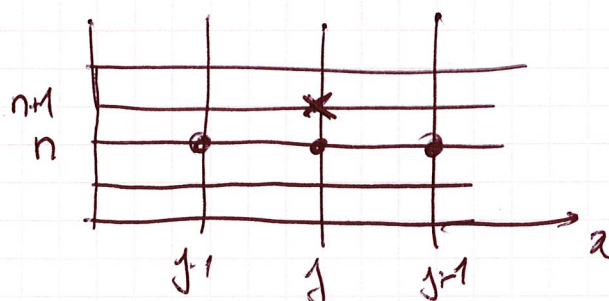
Schéma implicite:

$$\left| \frac{U_J^n - U_J^{n-1}}{\Delta t} - D \frac{U_{J+1}^n - 2U_J^n + U_{J-1}^n}{\Delta x} \right| = F_J^n \quad J=1, \dots, N$$

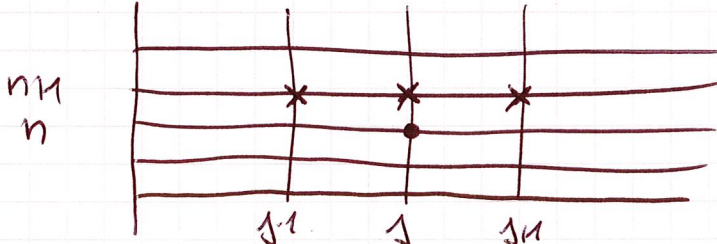
Pas immédiate de calculer U_J^{n+1} ?

Vision "Stencil"

Expliquer:



Implicite



Vision matricielle.

$$\frac{U^{nn} - U^n}{\Delta t} + DA_{\Delta t} U^{nn} = F^{nn}, \quad U^0 = \begin{pmatrix} \varphi_1 \\ \varphi_2 \\ \vdots \\ \varphi_N \end{pmatrix}$$

système linéaire : $(I + DA_{\Delta t}) U^{nn} = \frac{U^n}{\Delta t} + F^{nn}$

ou $\Rightarrow (I + D\Delta t A_{\Delta t}) U^{nn} = U^n + \Delta t F^{nn}$

Mq matrice $I + D\Delta t A_{\Delta t}$ inversible ?

(cf + point, valeurs propres), symétrique, définie positive

- $A_{\Delta t}$ symétrique (évident)
- $A_{\Delta t}$ diagonale strictement dominante $\Rightarrow A \text{ SPD}(\square)$

Th Gershgorin $A \in \mathbb{R}^{N \times N}$, soit $\sigma_i = \sum_{j \neq i} |a_{ij}|$

$(\lambda, \lambda) \text{ vp, } \overline{\nu_p}$ de A :

$$\exists i \text{ tq } |\lambda - a_{ii}| \leq \sigma_i$$

Dém $\lambda \nu_p, \lambda \overline{\nu_p} : \lambda x = \lambda x,$

$$\text{sat } i \text{ tq } |\lambda_i| \geq |x_j|, \forall j \quad (\lambda_i \neq 0)$$

$$\lambda_i - a_{ii} = - \sum a_{ij} \frac{x_j}{x_i} \Rightarrow |\lambda - a_{ii}| \leq \sigma_i$$

S: $A \text{ SDD} \Rightarrow \lambda = a_{ii} - \sum a_{ij} \frac{x_j}{x_i}$ rayon du cercle $\leq a_{ii} \Rightarrow \lambda > 0$

$a_{ii} > 0$
 $a_{ij} < 0$

Autres schémas

* Crank-Nicolson : moyenne des 2 premiers

$$\frac{U_j^{nn} - U_j^n}{\Delta t} - \frac{\Delta t}{2} \left(\frac{U_{j+1}^n - 2U_j^n + U_{j-1}^n}{\Delta x^2} + \frac{U_{j+1}^{nn} - 2U_j^{nn} + U_{j-1}^{nn}}{\Delta x^2} \right) = \frac{1}{2}(F_j^n + F_j^{nn})$$

Implique :

$$\frac{U^{nn} - U^n}{\Delta t} + \Delta t A_\Delta \left(\frac{U^{nn} + U^n}{2} \right) = \frac{F^n + F^{nn}}{2}$$

système linéaire

$$\left(I + \frac{\Delta t}{2} A_\Delta \right) U^{nn} = \left(I - \frac{\Delta t}{2} A_\Delta \right) U^n + \frac{\Delta t}{2} (F^n + F^{nn})$$

* θ schéma (+ général) : $0 \leq \theta \leq 1$

$$\frac{U_j^{nn} - U_j^n}{\Delta t} - \Delta t \left(\theta \frac{U_{j+1}^{nn} - 2U_j^{nn} + U_{j-1}^{nn}}{\Delta x^2} + (1-\theta) \frac{U_{j+1}^n - 2U_j^n + U_{j-1}^n}{\Delta x^2} \right) = \theta F_j^n + (1-\theta) F^{nn}$$

$$(I + \theta \Delta t A_\Delta) U^{nn} = (I - (1-\theta) \Delta t A_\Delta) U^n + \Delta t F^{nn}$$

$$\text{Notation } F^{nn} \text{ (ou } U^{n+\theta}) = \theta F^{nn} + (1-\theta) F^n$$

Pq matrice $I + \theta \Delta t A_\Delta$ toujours SPD, $\theta \geq 0$,

Analysse des schémas = consistence, stabilité, convergence.

(Rq) Besoin de norme sur \mathbb{R}^J

les plus utilisées.

$$\begin{cases} \|U\|_{\infty, \Delta x} = \max_{1 \leq j \leq J} |U_j| \\ \|U\|_{2, \Delta x} = \sqrt{\Delta x} \left(\sum_{j=1}^J |U_j|^2 \right)^{1/2} \end{cases}$$

Rq $\|U\|_{2, \Delta x} \leq \|U\|_{\infty, \Delta x} \leq \frac{1}{\sqrt{\Delta x}} \|U\|_{2, \Delta x}$

équivalence DEPEND DE J

Schéma DF à 1 pas général:

sous la forme

$$\left\{ \begin{array}{l} B_1 U^{n+1} = B_0 U^n + \tilde{F}^n, \\ U^0 \text{ donné} \end{array} \right.$$

Généraliser les schémas précédents

CN B_1 inversible

Pour "ressembler" à l'équation $B_1 = O\left(\frac{1}{\Delta t}\right)$

Hyp B_1 inversible et $\|B_1^{-1}\| \leq C\Delta t$, $\forall \Delta t \leq \Delta t_*$

Convergence

Définition Schéma convergent (pour une norme $\|\cdot\|_{\Delta x}$) si

$$\max_{0 \leq n \leq T} \|U^n - u(\cdot, t^n)\|_{\Delta x} \rightarrow 0 \quad \text{quand,} \quad \begin{cases} \Delta x \rightarrow 0 \\ \Delta t \rightarrow 0 \end{cases}$$

avec une possible condition sur $\Delta x, \Delta t$

Rq: - Norme seulement en espace. !, (L^∞ en temps)

- condition PEX $\frac{\Delta t}{\Delta x^2} \leq \frac{1}{2D}$ (schéma explicatif)

En particulier $U_j^n \rightarrow u(x_j, t^n)$ si $\begin{cases} \Delta x \rightarrow 0 \\ \Delta t \rightarrow 0 \end{cases}$ $\begin{cases} \Delta x = x^* \\ \Delta t = t^* \end{cases}$

Difficile à démontrer Th Lax \Rightarrow 2 conditions

Consistence

Opérateur d'échantillonnage : $E_{\Delta x}$

$$E_{\Delta x} : C^0(0, L) \rightarrow \mathbb{R}^{\delta}$$

$$u \mapsto E_{\Delta x} u = \begin{pmatrix} u(x_1) \\ u(x_2) \\ \vdots \\ u(x_\delta) \end{pmatrix}$$

Erreur de troncature :

$$\epsilon_{\Delta x, \Delta t}^n = B_1(E_{\Delta x} u^{n+1}) - B_0(E_{\Delta x} u^n) - \tilde{F}^n$$

Schéma consistant ssi $\max_{n \in \mathbb{N}} \| \epsilon_{\Delta x, \Delta t}^n \|_{\Delta x} \xrightarrow{\Delta x \rightarrow 0} 0$ si $(\Delta x, \Delta t) \rightarrow 0$

— ordre p (espacé), q temps ssi

$$\max_{n \in \mathbb{N}} \| \epsilon_{\Delta x, \Delta t}^n \|_{\Delta x} \leq C(\Delta x^p + \Delta t^q) \quad C = C(u)$$

En pratique très simple : Dér¹ Taylor
(mais à ce point pas on développe).

Exemples : Consistence et ordre des schémas
(à compléter), cf Morlion-Payer pp 28-29

Δ Consistence \Rightarrow à quel ordre la solution exacte vérifie-t-elle le schéma.

Une façon de tester le schéma et l'équation EDP.

Stabilité

Schéma homogène:

$$B_1 U^{n+1} = B_0 U^n + \tilde{F}^n \quad U^0 \text{ donné}$$

Schéma stable (pour la norme $\| \cdot \|_{\infty}$) ssi (condition sur $B_1, \Delta x$)

$$\exists C(T) > 0, \forall U^0, \max_{n \in \mathbb{N}} \| U^n \|_{\Delta x} \leq C(T) \| U^0 \|_{\Delta x} + C(T) \max_{n \in \mathbb{N}} \| \tilde{F}^n \|$$

$$\Leftrightarrow \exists C(T) > 0, \forall U^0 \in \mathbb{R}^n, \forall n \in \mathbb{N} \quad \| U^n \|_{\Delta x} \leq C(T) \| U^0 \|_{\Delta x} + C(T) \max_{n \in \mathbb{N}} \| \tilde{F}^n \|$$

La solution reste bornée, sur un intervalle de temps Fini

Ici pas de Preuve avec P'équation.

Si la solution de l'EDP est bornée on prend en général $C(T) = 1$
 $(C(T) > 1$ utile pour solution $\neq 0$)

DEPEND DE LA NORME

Δ Conditions aux limites (puis dans ce cours)

~~Stabilité~~

Exemple

Schéma explicatif, $D \frac{\Delta t}{\Delta x^2} \leq 1$

$$\Rightarrow \| u^{n+1} \| \leq m \epsilon \times \| u^n \|$$

$$\Rightarrow \| u^{n+1} \|_{\infty, \Delta x} \leq \| u^n \|_{\infty, \Delta x}$$

Stabilité en norme L^∞ .

Théorème de Lax (-Richtmyer)

| Si le schéma est consistant et stable (pour une norme $\|\cdot\|_{\Delta x}$)
| alors il est convergent (pour la même norme)

THEORÈME FONDAMENTAL

(Rq1) Reciproque vraie : si schéma consistant, convergent \Rightarrow stable

(Rq2) Indispensable en pratique : convergence difficile,
|| x consistante \Rightarrow Taylor, peu très difficile
|| x stable (algébrique (Fourier), [AKSO])

En pratique : vérifier ~~stable~~ (ponctuelle)
stable (L^∞ , ppe max, L^1 Fourier)

Dem

schéma : $B_1 U^{n+1} = B_0 U^n + \tilde{F}^n$

soloQ $B_1 (E_\Delta u)^{n+1} = B_0 (E_\Delta u)^n + \tilde{F}^n + \varepsilon^n$

Erreur $e^n = U^{n+1} - (E_\Delta u)^{n+1}$

$\Rightarrow B_1 e^{n+1} = B_0 e^n + \varepsilon^n$

stabilité $\Rightarrow \|e^n\|_{\Delta x} \leq C \|e^0\| + C \max_{n \in \mathbb{N}} \|\varepsilon^n\|$

consistance $\Rightarrow \|e^n\|_{\Delta x} \rightarrow 0$

+ général

Erreur même ordre que erreur troncature.

Critères de stabilité

$$\text{Schéma } B_1 U^n = B_0 U^n + \tilde{F}^n, \quad \left| \begin{array}{l} \text{Hyp} \quad \|B_1\| \leq K_1 \Delta t \\ \Rightarrow U^{nn} = AU^n + C^n \end{array} \right. \quad A = B_1^{-1} B_0, \quad C^n = B_1^{-1} \tilde{F}^n$$

(Th) Schéma stable $\Leftrightarrow \exists \tilde{C}(T), \forall n, \|A^n\| \leq \tilde{C}(T)$

Dém 1) stable $\Rightarrow \leq$

on prend $\tilde{F}^n = 0, \forall n$

$$\text{Stabilité: } \forall U^0, \|D^n U^0\|_{\Delta t} \leq C_1(T) \|U^0\| \Rightarrow \|A^n\| \leq C_1(T)$$

2) \Leftarrow Par récurrence.

$$U^n = A^n U^0 + \sum_{k=0}^n A^{n-k} C^k$$

$$\|U^n\| \leq \|A^n\| \|U^0\| + \sum_k \|A^{n-k}\| \|C^k\|$$

$$\leq C_1(T) \|U^0\|$$

$$\text{La somme } \|C^k\| \leq \|B_1^{-1}\| \|\tilde{F}^k\| \leq K_1 \Delta t \|\tilde{F}^k\|$$

$$\text{puis } \sum_{k=0}^n \|A^{n-k}\| \|C^k\| \leq K_1 \Delta t \cdot (nn) \tilde{C}(T) \max_k \|\tilde{F}^k\|$$

$$\text{et } (nn) \Delta t = T \Rightarrow nn = \frac{T}{\Delta t} \text{ et } n \Delta t \Rightarrow \text{borné}$$



(Rq) En pratique schéma homogène.

Rq Difficile à appliquer (cf sur le symétrique)

(Rq) Cas particulier: $\|A\|_{\Delta t} \leq 1 \Rightarrow$ schéma stable,

Rappels d'algèbre linéaire (norme 2)

$$\rho(B) = \max\{|\lambda|, \lambda \in \sigma(B)\}$$

$$\|A\|_{\text{op}} = \sqrt{\rho(A^T A)}$$

$\|A\|_{\text{op}}$ si A symétrique (normale) $\|A\|_{\text{op}} = \rho(A)$

FAUX si A PAS NORMALE ($A^T A \neq A A^T$)

(Th) Si A symétrique: schéma stable $\Leftrightarrow \exists C(T) \text{ tq } \rho(A) \leq 1 + C(T) \Delta t$

Pq CNS !!

Dem $\Leftarrow \exists C(T) \text{ tq } \rho(A) \leq 1 + C(T) \Delta t$

$$\forall n, \|A^n\|_{\text{op}} = \rho(A^n) = (\rho(A))^n \leq (1 + C(T) \Delta t)^n \\ \leq e^{C(T) n \Delta t} \leq e^{C(T) \Delta t} \text{ borné}$$

\Rightarrow schéma stable : $\|A^n\| = \rho(A)^n = \cancel{(1 + C(T) \Delta t)^n} \leq \tilde{C}(T)^n$

$$\text{ou: } \cancel{1 + C(T) \Delta t} \quad \rho(A) \leq \tilde{C}(T)^{1/n}, \quad \forall n \leq T / \Delta t$$

$$2^{\text{cas}}: \tilde{C}(T) \leq 1 \Rightarrow \rho(A) \leq 1. \text{ - OK } (C(T) = 0)$$

$$\tilde{C}(T) > 1, \quad n = \frac{T}{\Delta t} \text{ et } \rho(A) \leq (C(T))^{1/\Delta t} \leq e^{\frac{1}{\Delta t} \ln(C(T))}$$

La fct $s \rightarrow e^{s \ln(C(T))}$ est convexe sur $[0, 1]$ (car $\ln(C(T)) > 0$)

$$\text{d'où } e^{s \ln(C(T))} \leq (1-s) + s e^{\ln(C(T))} = 1 + s(C(T) - 1)$$

$$s > \Delta t / T \Rightarrow \rho(A) \leq 1 + \frac{(C(T) - 1) \Delta t}{C(T)}$$

(Pq) $C \leq \rho(A) < 1$ une solution bornée

(Pq) résultat non trivial: somme

le schéma (enfin!)

Matrices $B_1 = \frac{1}{\Delta t} I, B_0 =$

Matrices

Explique $B_1 = \frac{I}{\Delta t}, B_0 = \frac{\frac{1}{\Delta t}}{\Delta x} D \cancel{A} T \quad T = \text{tridiag}(-1, 2, -1)$

Implique $B_1 = \frac{I}{\Delta t} + \frac{D}{\Delta x} T \quad B_0 = \frac{I}{\Delta t}$

Schéma $B_1 = \frac{I}{\Delta t} + \frac{D \theta}{\Delta x} T \quad B_0 = \frac{I}{\Delta t} - (1-\theta) \frac{D \theta}{\Delta x} T$

Valeurs propres de $T = \langle I - B \rangle$ (*général $aI + bB$)

vp, \overline{vp} de B (cf LeDret-Lequin p 277)

Th vp de T sont ~~$\lambda_j = \sqrt{\sin^2 \frac{j\pi}{J+1}}$~~ $\lambda_j = \sqrt{\sin^2 \frac{j\pi}{J+1}}, j=1, \dots, J$

Valeurs propres $(w_j)_j = \sin \left(\frac{j \pi}{J+1} \right)$

cas continu !!

Explique $vp B_1 = \frac{1}{\Delta t} \Rightarrow \|B_1\| = \Delta t, A = I - \frac{D \Delta t}{\Delta x} T$

les vp de A sont $\left(1 - \sqrt{\frac{D \Delta t}{\Delta x} \sin^2 \frac{j\pi}{J+1}} \right)$

Stabilité norme $L^2 = \rho(A) = \max \left(\left| 1 - \sqrt{\frac{D \Delta t}{\Delta x} \sin^2 \frac{j\pi}{J+1}} \right|, \left| 1 + \sqrt{\frac{D \Delta t}{\Delta x} \sin^2 \frac{j\pi}{J+1}} \right| \right)$

$\Rightarrow \frac{D \Delta t}{\Delta x} \leq 1 \Rightarrow$ stable norme L^2 sinon instable

Schéma implique $B_1 = \frac{I}{\Delta t} + \frac{D}{\Delta x} T \Rightarrow vp B_1 = \frac{1}{\Delta t} + \sqrt{\frac{D}{\Delta x} \sin^2 \frac{1\pi}{J+1}}$

$$vp B_1^{-1} = \frac{\Delta t}{1 + \sqrt{\frac{D \Delta t}{\Delta x} \sin^2 \frac{1\pi}{J+1}}} \leq \Delta t \rightarrow 0$$

$$A = \tilde{B}_1^T B_0 = \left(I + \frac{\partial \Delta L}{\Delta x} T \right)^{-1}$$

$$\|A\| = \frac{1}{1 + \frac{\partial \Delta L}{\Delta x} \sin \frac{1\pi}{2(n+1)}} \leq 1 \quad (\text{et } > 0)$$

Don schéma inconditionnellement stable en norme L^2

Où Schéma ? $B_1 = \left(1 + \frac{\partial \Delta L}{\Delta x} T \right)$, $B_0 = 1 - (1-\theta) \frac{\partial \Delta L}{\Delta x} T$

$F = \frac{\partial \Delta L}{\Delta x} = \text{nbre de Fourier (sans dimension)}$.

$A = \tilde{B}_1^T B_0$, va leurs propres

$$\lambda_j = \frac{1 - (1-\theta) F \sin \frac{j\pi}{2(n+1)}}{1 + \theta F \sin \frac{j\pi}{2(n+1)}}$$

$\theta \geq \frac{1}{2} \Rightarrow -1 \leq \lambda_j \leq 1 \text{ toujours}$

$\theta < \frac{1}{2}$ CNS $F \leq \frac{1}{2(1-2\theta)}$

On a alors $\lambda_j \leq 1$, condition $\lambda_j \geq -1$

$$\lambda_j = \frac{1 - (1-\theta) F \sin^2 j}{1 + \theta F \sin^2 j}$$

$$\lambda_j > -1 \Leftrightarrow 1 > F^2 (1-2\theta)$$

$$1-2\theta < 0 \Rightarrow \text{Mise vrai}$$

$$1-2\theta > 0 \quad \text{cs } F(1-2\theta)$$